#### CoSAC (ANR-14-CE18-0007)

T1.2.4 Analyse des mécanismes impliqués dans la détection automatisée des adventices

M. Louargant, G. Jones, S. Villette, J.N. Paoli, T. Maillot, C. Gée

















### SOMMAIRE

- I. L'agriculture de précision appliquée à la gestion des adventices
- II. Discrimination entre cultures et adventices par imagerie aérienne
- III. Conclusion, limites et perspectives







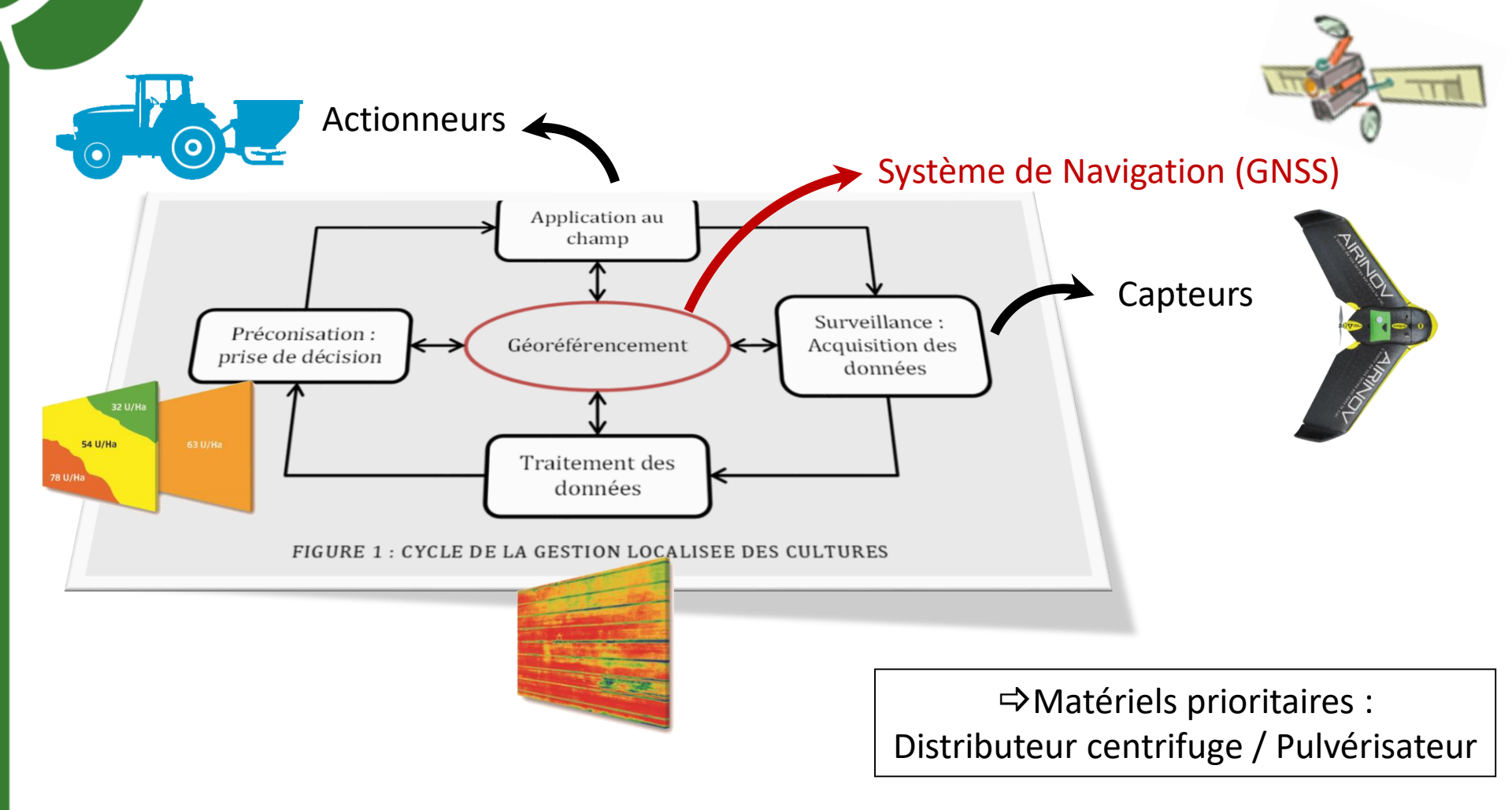
I. l'agriculture de précision appliquée à la gestion des adventices

Agriculture de Précision : Caractérisation et exploitation de la variabilité intra-parcellaire



# I. L'agriculture de précision appliquée à la gestion des adventices

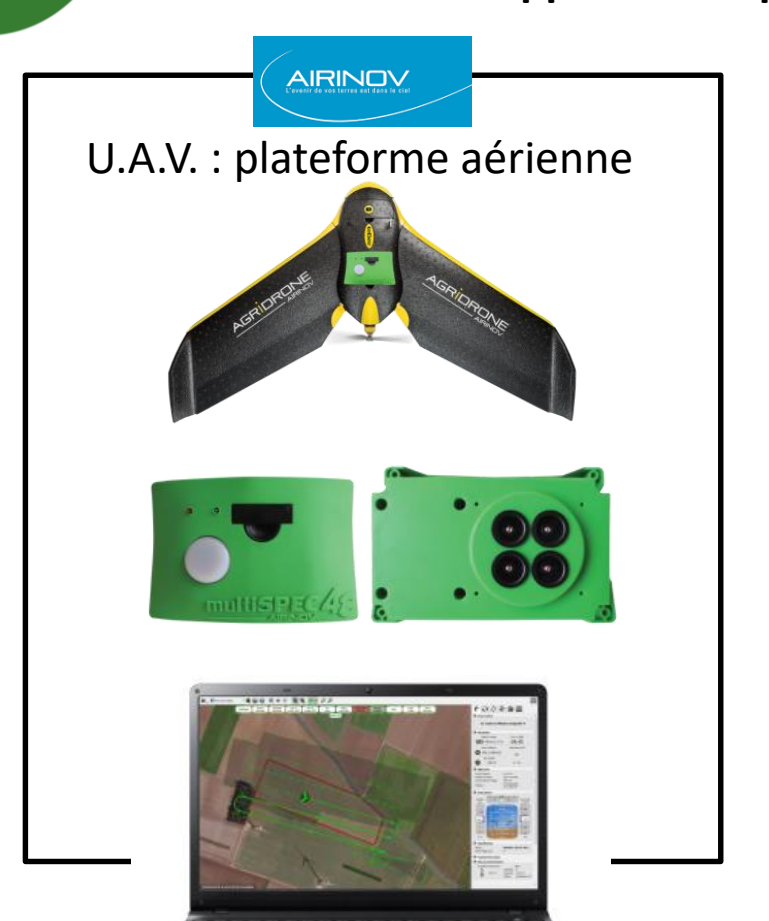




# I. L'agriculture de précision appliquée à la gestion des adventices



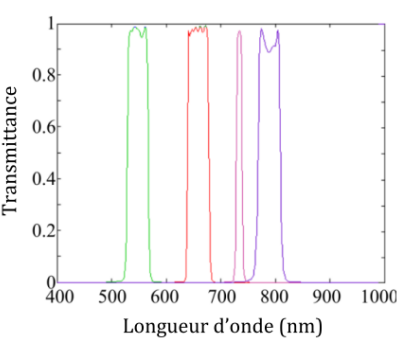
#### Développer des dispositifs mobiles et autonomes innovants



#### **Descriptif:**

- Drone = aile volante (1m);
- Capteurs optiques :
  - Camera multispectrale (4 filtres)

4 filtres : 550 nm(V),
660 nm (R)
735 nm(Red-Edge)
790 nm (Proche Infra-rouge)



#### Capteurs de position :

- GPS
- Centrale inertielle
- → Vol automatique
- → Images géoréférencées

Hauteur du capteur =  $50 \text{ m} \rightarrow \text{résolution spatiale de } 6 \text{ cm/pixel}$ Hauteur du capteur =  $3 \text{ m} \rightarrow \text{résolution spatiale de } 6 \text{ mm/pixel}$ 

## II. Discrimination entre cultures et adventices par imagerie aérienne

- Cultures étudiées : mais, betterave
- Discrimination culture/adventices:
  - Spatiale : détection des rangs de cultures (Transformée de Hough)
  - Spectrale: algorithmes supervisés (LDA, QDA, Mahalanobis, SVM...)
  - **Spatiale** + **spectrale** : algorithmes supervisés « nourris » par la discrimination spatiale

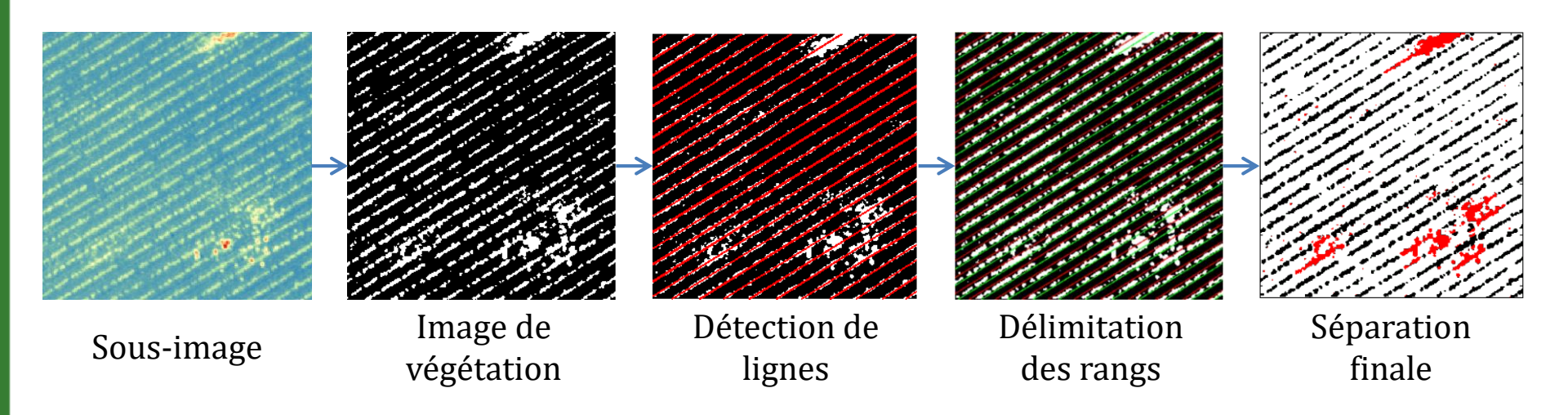


#### II. Discrimination entre cultures et adventices



#### Méthode spatiale

- Pour les cultures sarclées
- Sur les orthophotographies à 6 cm de résolution spatiale
- Basée sur la détection des rangs



Méthode automatisée détectant les adventices dans l'inter-rang

- → Ne garantit pas la détection des adventices dans le rang
- →Non applicable dès lors que l'inter-rang n'est plus apparent

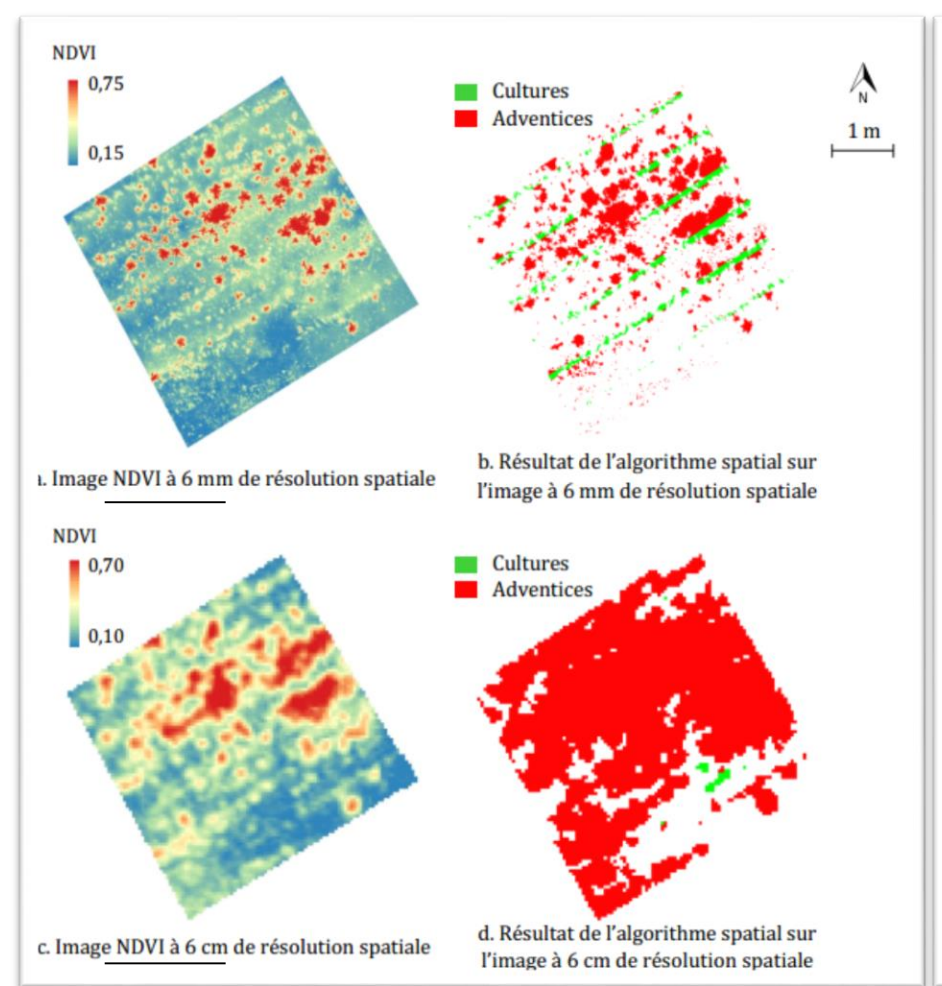


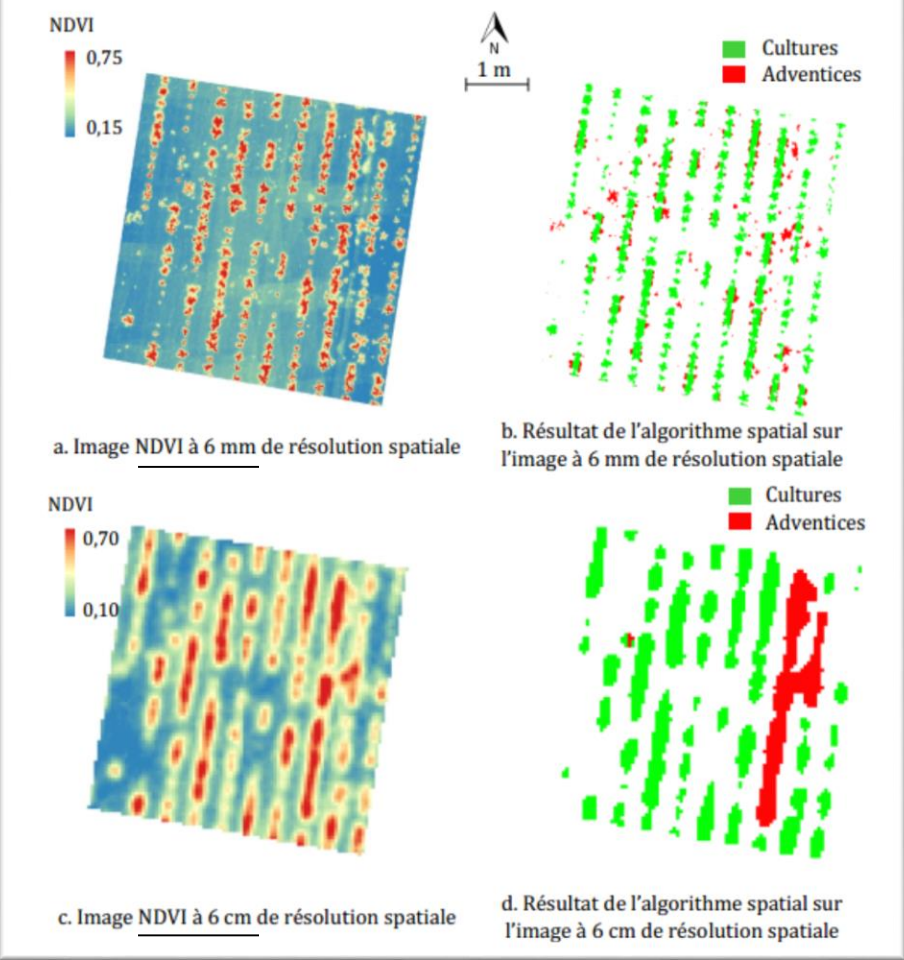


#### Méthode spatiale

Résultats sur <u>parcelle de maïs</u> infestée de chardons et chénopodes

Résultats <u>sur parcelle de betterave</u> infestée de chardons du stade cotylédon à rosette





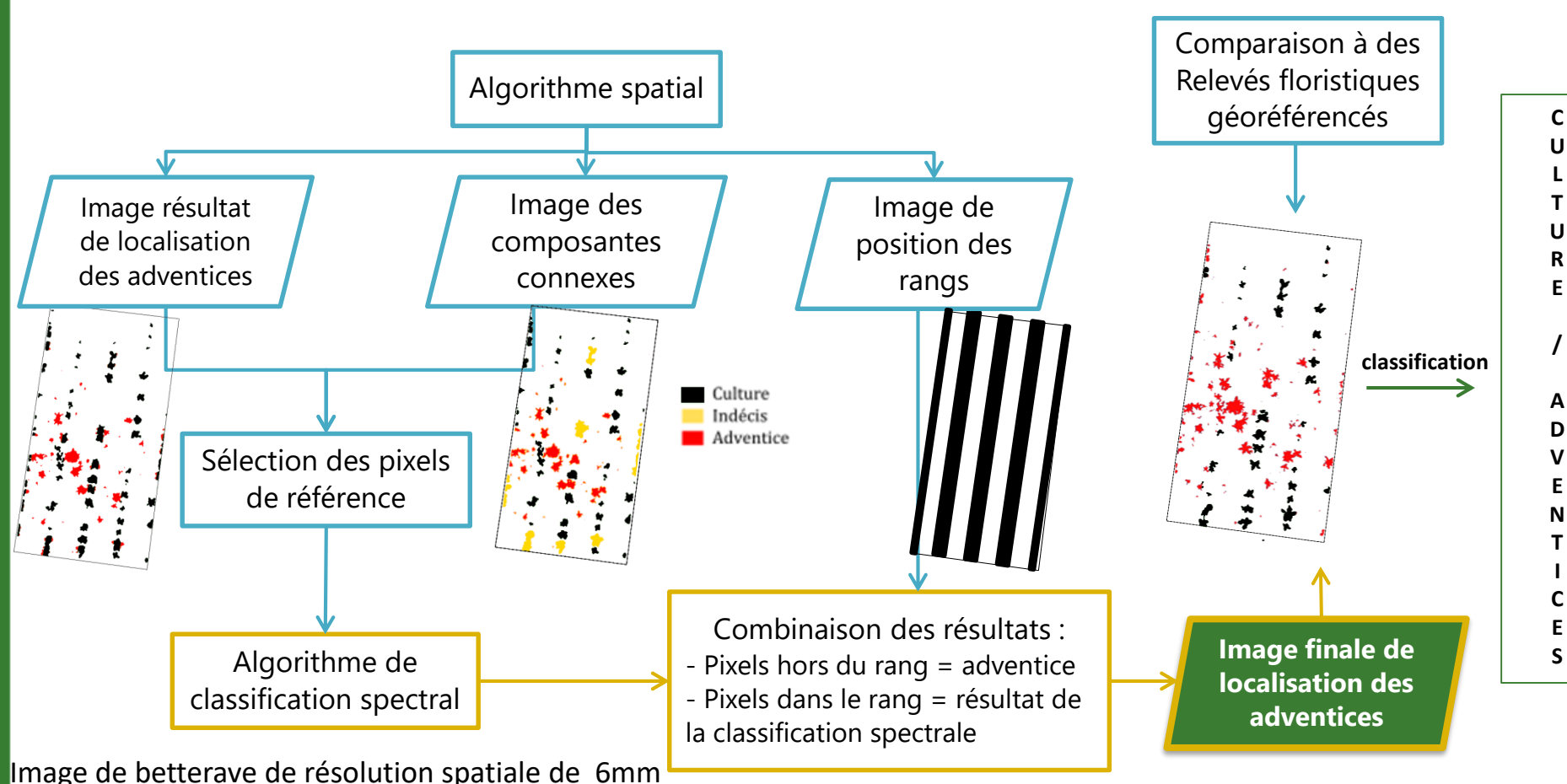


#### II. Discrimination entre cultures et adventices



#### Combinaison spatial + spectral

✓ Utilisation des résultats de la détection spatiale pour sélectionner les pixels de référence + combinaison des résultats







#### Résultats de la classification : matrice de confusion Méthode spatiale sur orthophotos :

- Détection des rangs performante et robuste (de 6 mm à 6 cm)
- Très bonne classification à 6 mm, petites adventices non détectées à 6 cm

Résolution	$\mu_{TVC}$	$\mu_{TVA}$	$\sigma_{TVC}$	$\sigma_{TVA}$
6 cm/px	47%	76%	0,29	0,19
6 mm/px	88%	78%	0,04	0,07

#### Combinaison des deux méthodes (sur orthoimagettes):

- Nécessité d'une très bonne résolution (6 mm)
- Amélioration de la détection des adventices

Méthodes pour images à 6mm/px	$\mu_{TVC}$	$\mu_{TVA}$	Moyenne
Spatiale	96%	83%	89%
Combinaison spatiale et spectrale	78%	93%	86%

→ Résultats intéressants à 6 mm mais contraintes techniques (nombre d'images à traiter) et économiques (débit de chantier) trop fortes



# III. Conclusion, limites et perspectives



## III. Conclusions

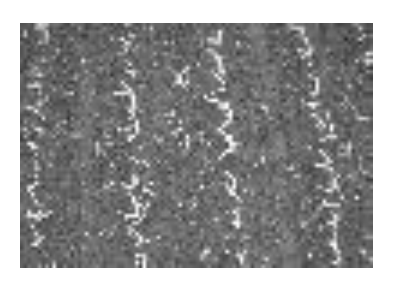


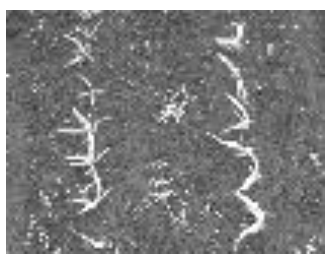
- Développement d'une méthode de détection des adventices :
  - → Algorithme spatial automatisé, adapté à diverses cultures
  - → Approche spectrale non supervisée
- Phase pilote :
  - → Agriculteurs satisfaits
  - → Gestion des tronçons problématique
- Références :
  - Louargant M. (2016). Proxidétection des adventices par imagerie aérienne : vers un service de gestion par drone, Université de Bourgogne, thèse de doctorat.
  - Louargant M., Villette S., Jones G., Vigneau N., Paoli J. N. and Gée C. (2017). Weed detection by UAV: simulation of the impact of spectral mixing in multispectral images. Precision Agriculture: 1-20.
  - Louargant M., Jones G., Faroux R., Paoli J.-N., Maillot T., Gée C. and Villette S. (2018).
     Unsupervised Classification Algorithm for Early Weed Detection in Row-Crops by Combining Spatial and Spectral Information. Remote Sensing 10(5): 761.

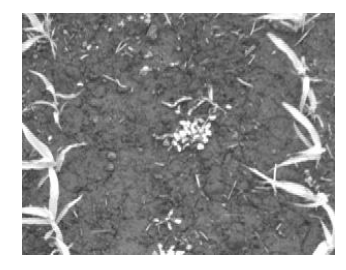
## III. Limites

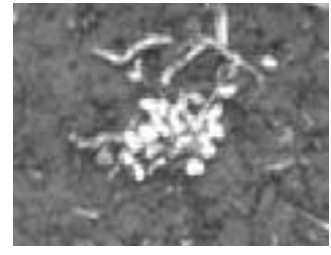


- Impact de la résolution spatiale des images
  - Détection des « petites » adventices
  - Qualité de la signature spectrale









- Impact du stade de développement
  - Taille des plantes (/résolution spatiale)
  - Signature spectrale, forme et texture des plantes peu discriminante











## III. Perspectives



- Etude de l'impact sur la qualité de classification de :
  - La résolution spatiale
  - Le stade de développement
  - Le type d'algorithme utilisé
    - → Définir des combinaisons de paramètres optimaux
- Poursuite de ces travaux avec les projets :
  - H2020 IWMPRaise (grant agreement no. 727321)
  - ANR Challenge ROSE (ANR-14-CE18-0007)

#### CoSAC (ANR-14-CE18-0007)

T1.2.4 Analyse des mécanismes impliqués dans la détection automatisée des adventices

M. Louargant, G. Jones, S. Villette, J.N. Paoli, T. Maillot, C. Gée













